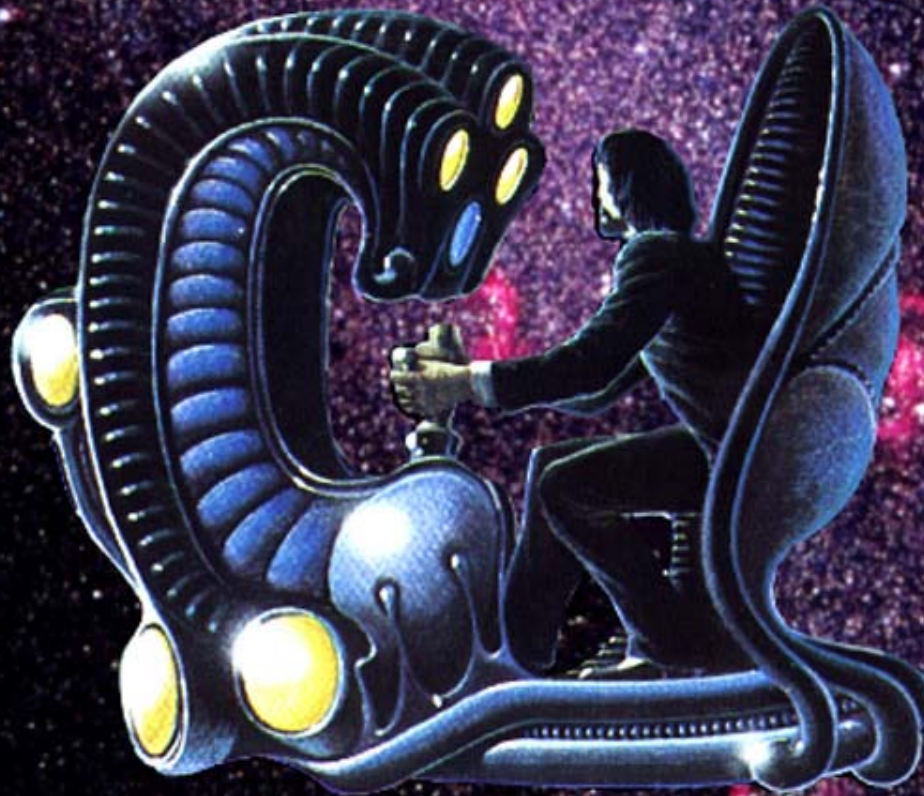


Le LEP une machine à remonter le temps



IN2P3

INSTITUT NATIONAL DE PHYSIQUE NUCLÉAIRE
ET DE PHYSIQUE DES PARTICULES

T1

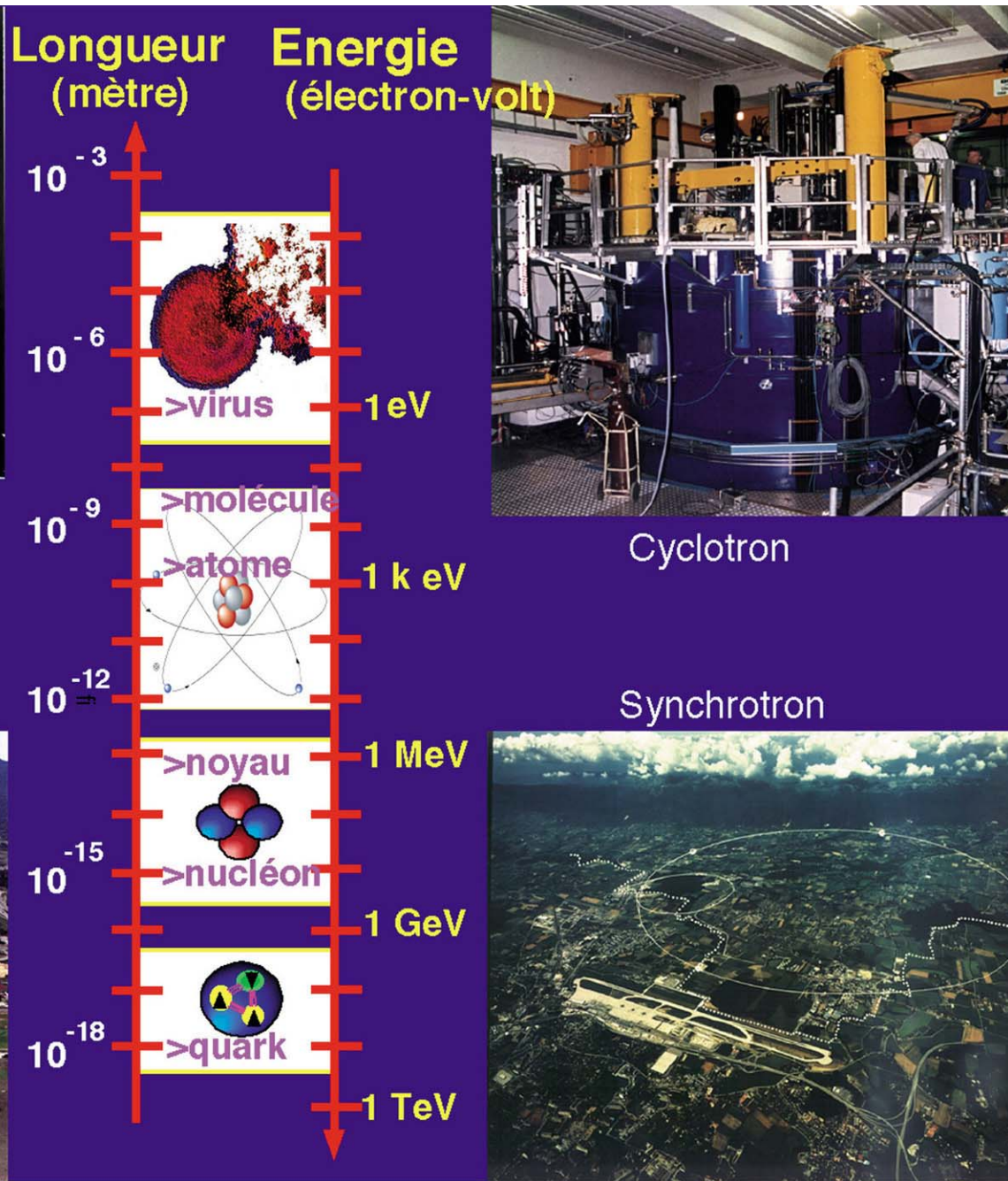
CNRS /
CENTRE NATIONAL
DE LA RECHERCHE
SCIENTIFIQUE



Microscope électronique



Accélérateur linéaire

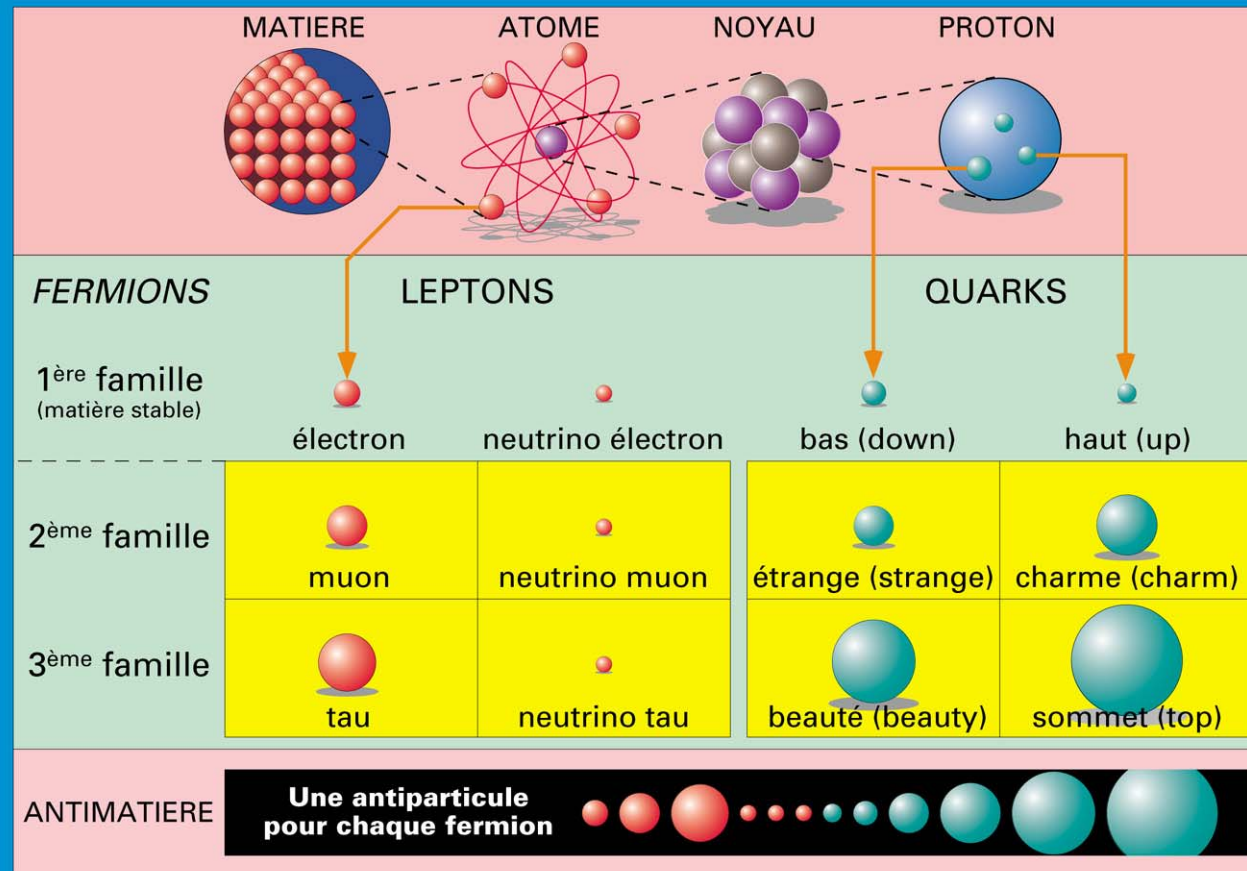


Le LEP

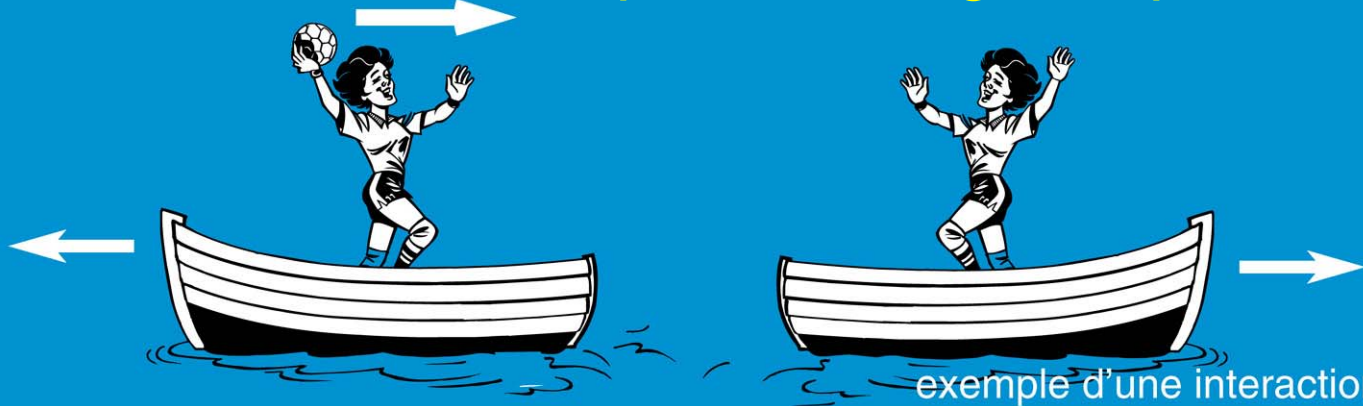
Une machine à remonter le temps

- Particules et interactions (**forces**) fondamentales de la nature
- Naissance de l'Univers selon la théorie du «big-bang»
- Accélérateurs de particules → concentrations d'énergie proches de celles mises en jeu dans les premiers instants de l'Univers
- Principe de l'expérimentation au LEP
- Exemple de résultat : mesure de l'intensité de l'interaction forte
- Vers l'unification des interactions fondamentales ?
- Conclusions et perspectives

Les constituants élémentaires de la matière

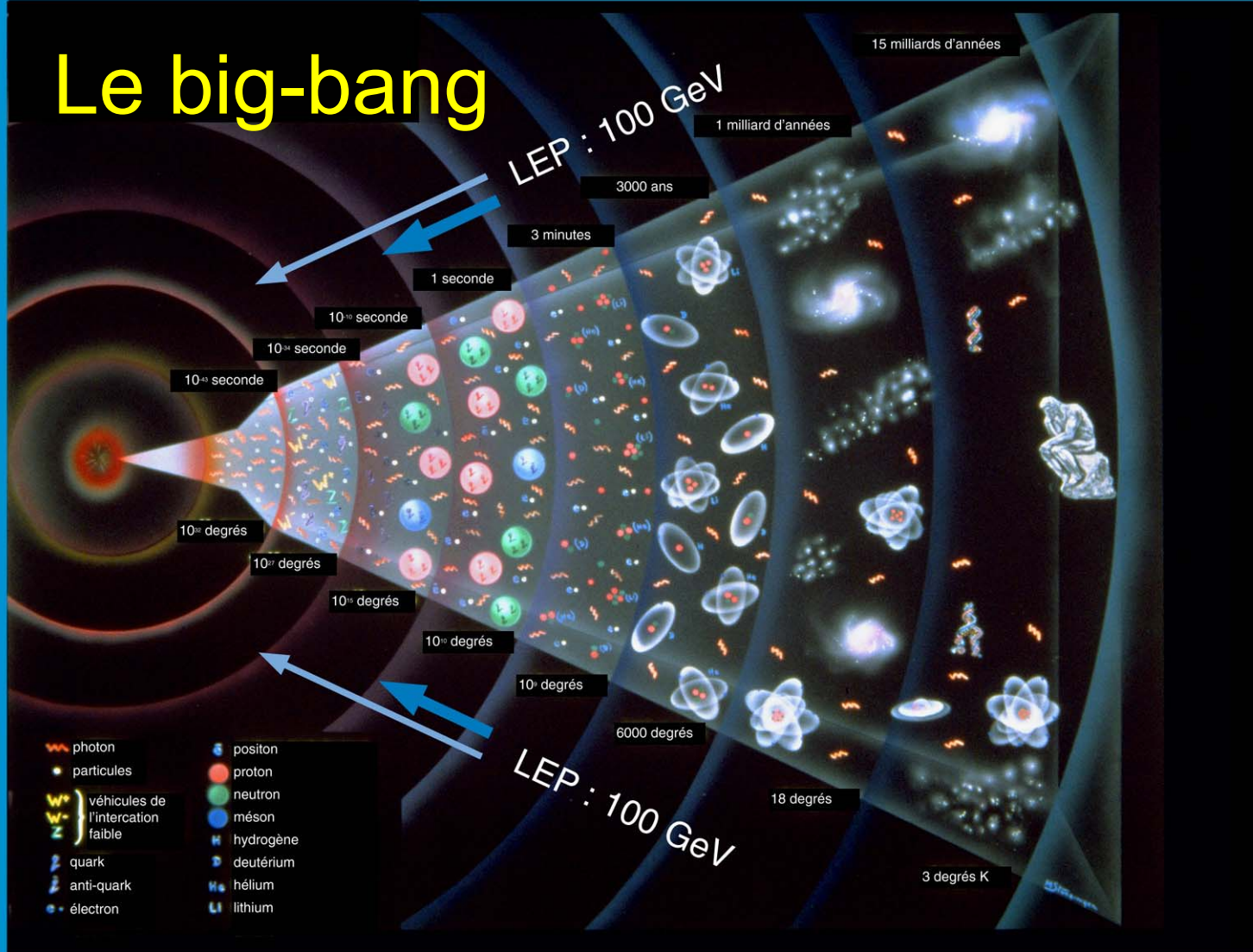


Les quatre interactions de la nature sont décrites par l'échange de particules



TYPE	FORCE RELATIVE	PARTICULES ÉCHANGÉES	EXEMPLE DE DOMAINE D'APPLICATION
FORTE	~ 1	gluons	noyau, nucléons
ÉLECTROMAGNÉTIQUE	~ 10^2	photons	cortège électronique de l'atome, lumière, chimie
FAIBLE	~ 10^{-6}	bosons Z^0 , W^+ , W^-	radioactivité β , énergie solaire
GRAVITATION	~ 10^{-38}	graviton ?	pesanteur, systèmes planétaires

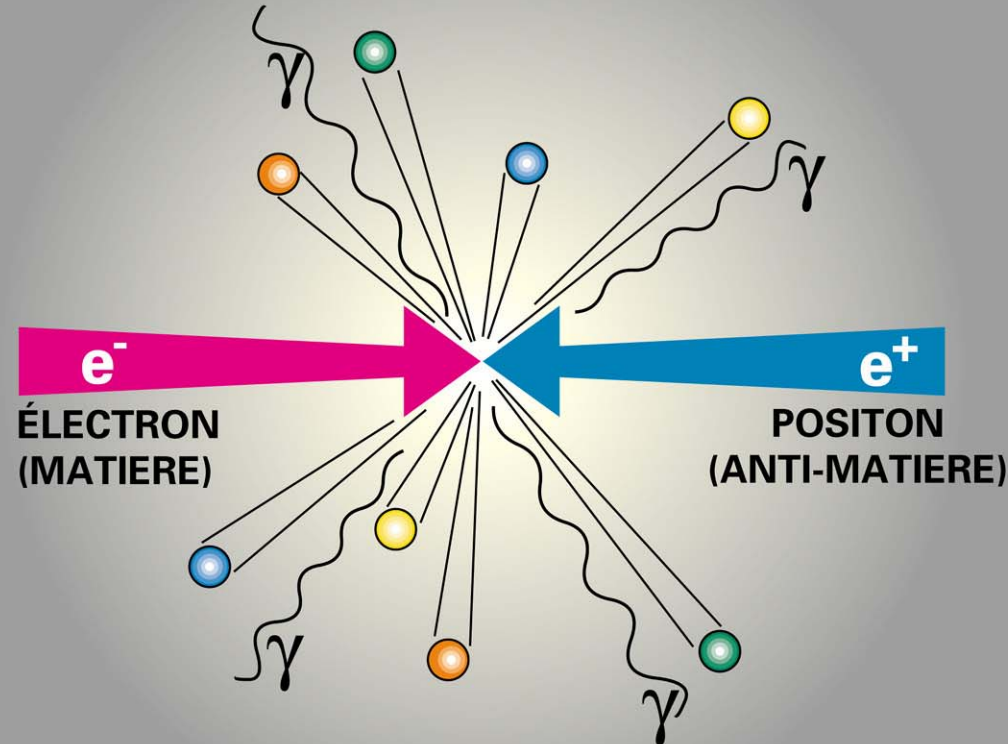
Le big-bang



$E=mc^2$, Annihilation, création de particules connues, nouvelles

CONCENTRATION D'ÉNERGIE

⇒ "MINI BIG-BANG"



ACO (Anneau de Collisions d'Orsay)

1964

$E \approx 1\text{GeV}$

22



LEP (Large Electron Positron Collider)

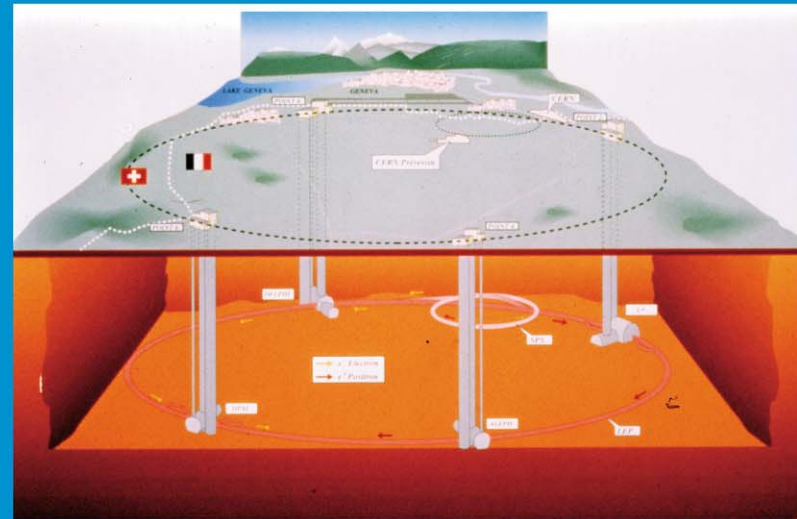
1989

$E \approx 100\text{-}200\text{ GeV}$

27 km



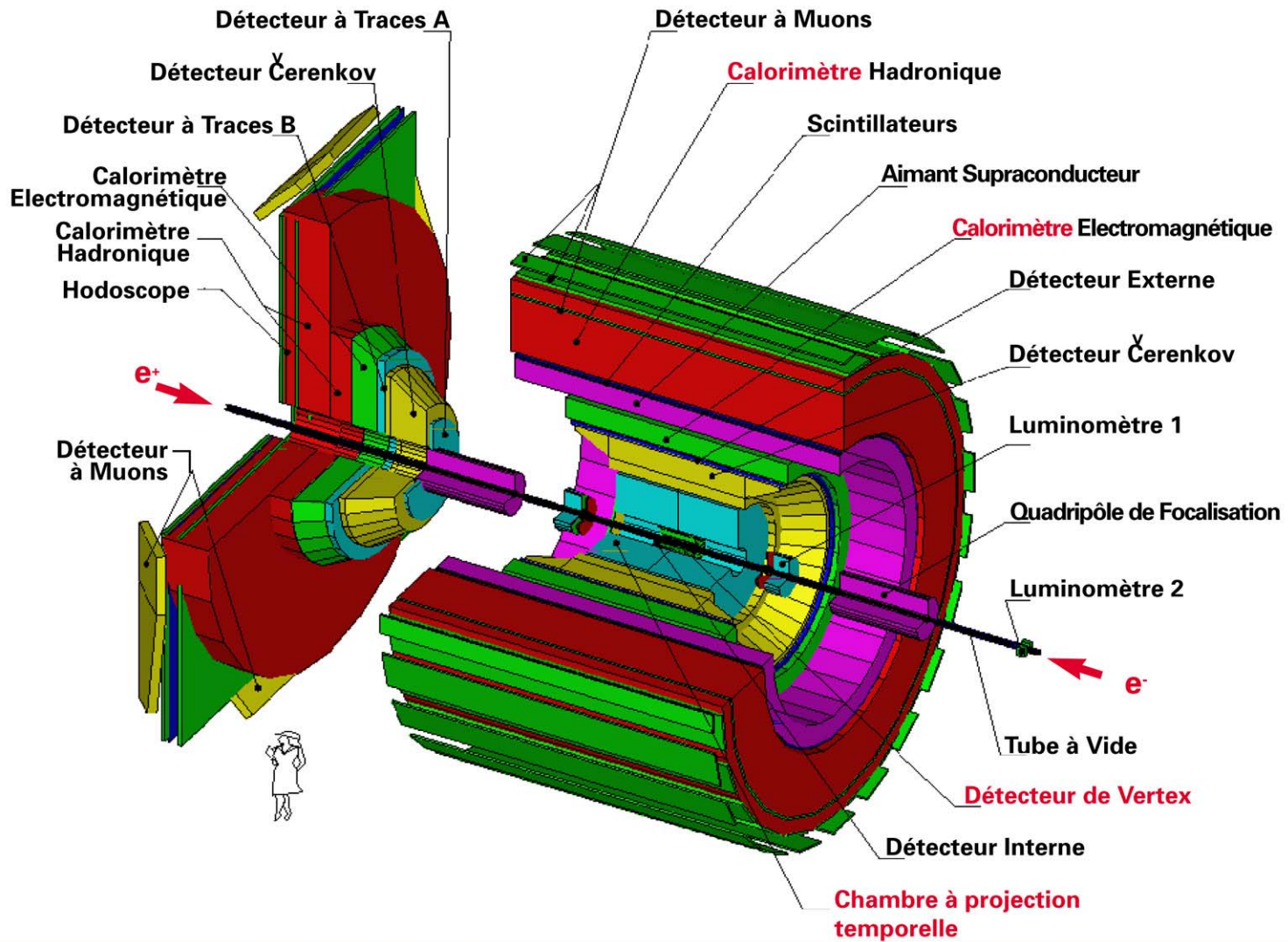
le LEP



le tunnel du LEP

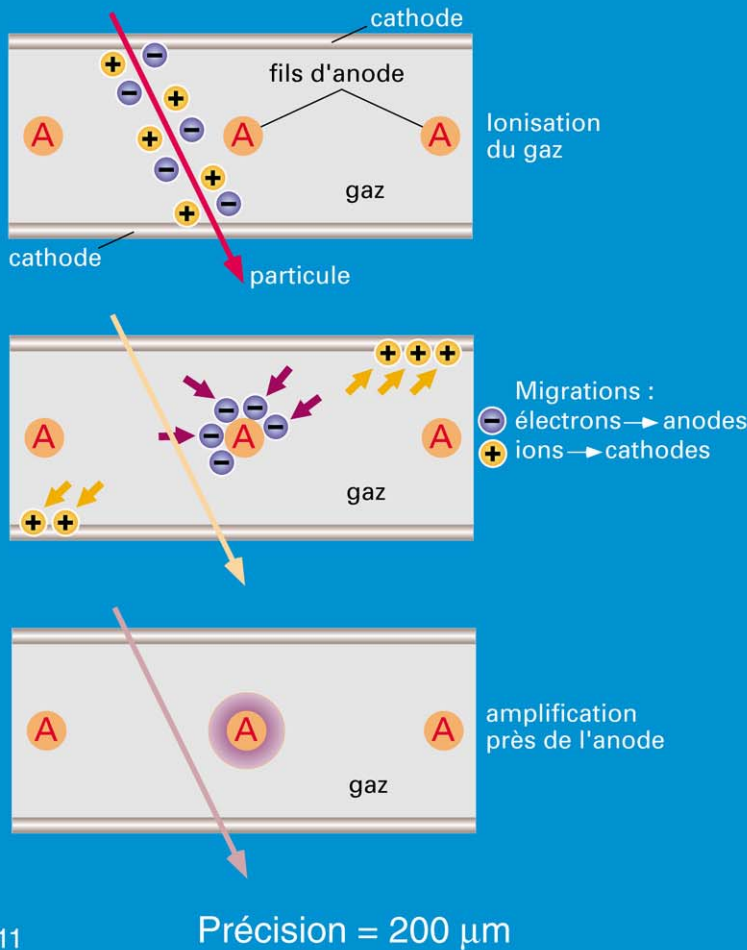


Le détecteur DELPHI



Comment enregistrer le passage des particules

Chambre à fils



T11

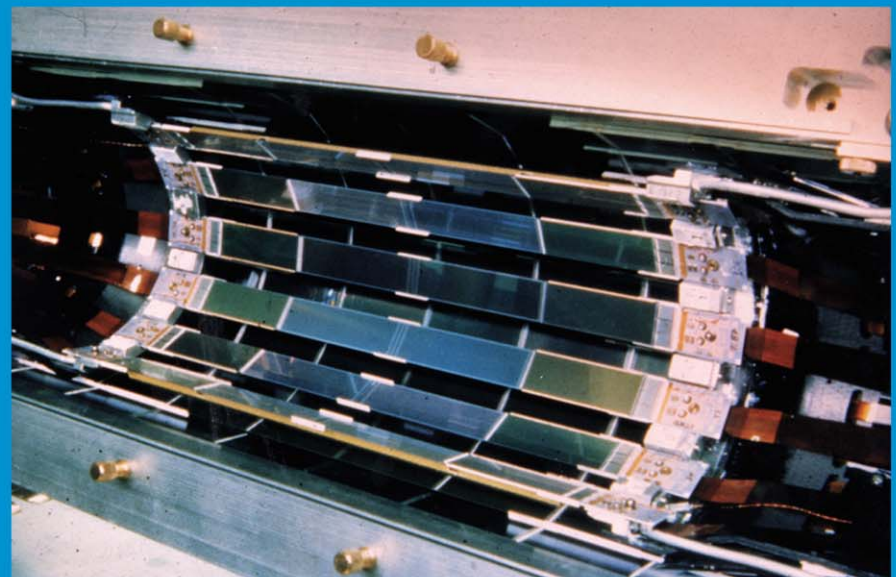
Détecteur au silicium

Implantation chaque 50 µm

Précision = 10 µm

Diamètre = 20 cm

50 000 voies de détection



Investigation expérimentale et théorique



«événement» quark-antiquark
≈ 20 particules chargées
≈ 20 particules neutres



Mesurer précisément le maximum de particules produites



{ énergie
quantité de mouvement (champ magnétique)
masse
durée de vie



Remonter à l'interaction fondamentale à travers un modèle
p. ex. quel type de quarks ?



Confronter les résultats de mesures aux prédictions de la théorie ou de plusieurs théories

confirmer
infirmer
améliorer



Forte statistique ==> précision
Monter l'énergie ==> exploration

Déroulement, organisation d'une expérience au LEP



Exemple : DELPHI

conception, 1ère étude projet : 3 ans

construction : 4 ans

exploitation, prise de données : 10 ans

Collaboration internationale : \approx 50 instituts

Nombre de physiciens : \approx 400 - 500

Coût du LEP : \approx 4 milliards FF

Coût d'une expérience : \approx 320 millions FF

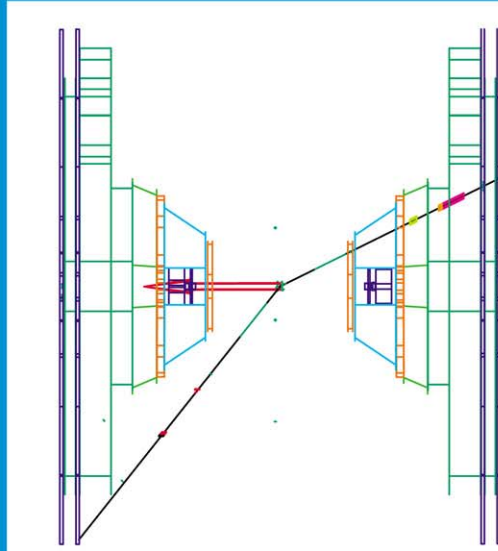
organisation, spécialisation

Que voit-on typiquement ?

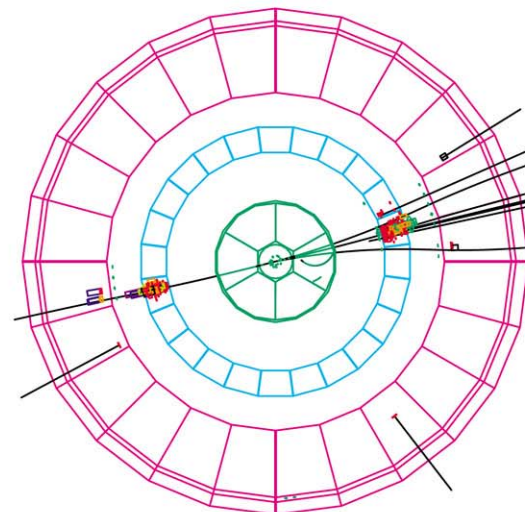
DELPHI Run: 64027 Evt: 1662
 Beam: 65.2 GeV Proc:11-Oct-1996
 DAS: 4-Nov-1995 Scan:14-Oct-1996
 08:08:09 Tan+DST

DELPHI Run: 64181 Evt: 18091
 Beam: 65.2 GeV Proc:11-Oct-1996
 DAS: 10-Nov-1995 Scan:14-Oct-1996
 04:45:16 Tan+DST

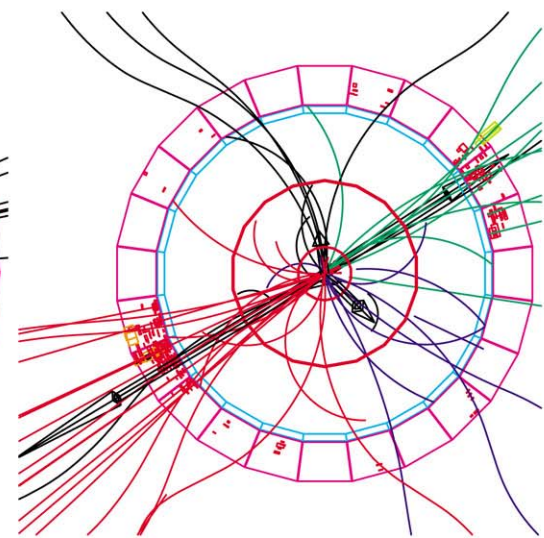
DELPHI Run: 63906 Evt: 23833
 Beam: 65.2 GeV Proc:11-Oct-1996
 DAS: 1-Nov-1995 Scan:14-Oct-1996
 00:57:46 Tan+DST



$$e^+ + e^- \rightarrow \mu^+ + \mu^- + \gamma$$



$$e^+ + e^- \rightarrow \tau^+ + \tau^-$$



$$e^+ + e^- \rightarrow q\bar{q} + 2g$$

Une des 150 publications de Delphi

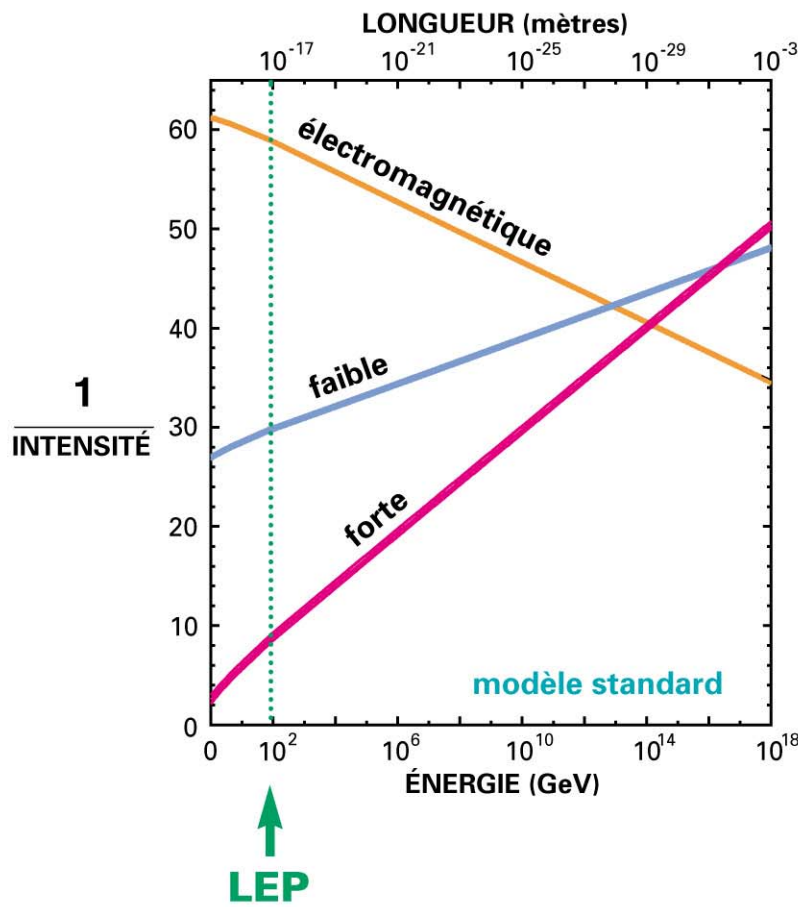
DELPHI Collaboration

- P. Abreu¹⁸, W. Adam⁴¹, F. Adams⁴², T. Adye³², T. Akesson²¹, G.D. Alekseev¹⁷, P. Allen⁵², S. Almehed²¹, S.J. Alvvaag⁸, U. Amaldi¹, E. Anassontzis², P. Antilogus²², W-D. Apel¹⁴, R.J. Apsimon¹, B. Åsman³⁹, J.-E. Augustin¹, A. Augustinus²⁷, P. Baillon⁷, P. Bambade¹, F. Barat¹¹, R. Barate²⁰, G. Barthélémy⁴⁰, D.Y. Bardin¹³, A. Barnes¹¹, O. Barrig¹, W. Bartl¹⁴, M.J. Bates³⁰, M. Battiston¹, B. Beaufort²⁰, K-H. Becks²⁵, C. Beeston³⁰, M. Begalli¹⁰, P. Bellaire¹, Yu. Belokopytov¹⁷, P. Beltram¹, D. Benedikt¹, J.M. Bensdoot¹, M. Berggren⁶, D. Bertrand¹, F. Bianchi¹⁴, M.S. Bilenky¹, P. Billot¹, J. Bjarme²¹, D. Bloch¹, S. Blyth¹, V. Bozzi¹¹, P.N. Bogolubov¹³, T. Bolognesi¹⁴, M. Bonaparte¹, M. Boneini¹, W. Bonivento¹, P.S.E. Bontje¹, P. Borgneaud¹, G. Borisov¹⁷, H. Borne¹, C. Borsig¹, B. Bostjancic¹, O. Botner⁴¹, B. Bouquet¹, C. Bourdarios¹, M. Bozzo¹, S. Brabant¹, P. Branchini¹¹, K.D. Brand¹, R.A. Brenner¹², H. Briand¹, C. Briman¹, R.C.A. Brown¹, N. Brummet¹, J.-M. Brunet¹, J. Bugege¹, T. Buran¹, H. Burmeister¹, J.A.M.A. Buytaert¹, M. Caccia¹, M. Calvi¹, A.J. Camacho Roza¹, A. Campion¹⁹, T. Camporesi¹, M. Canale¹, F. Cao¹, F. Carena¹, L. Carroll¹⁹, C. Caso¹⁰, E. Castell¹⁹, M.V. Castillo Gimenez¹, A. Cata¹, F.R. Cavallo¹, L. Cerrito¹, A. Chan¹, M. Chapkin¹¹, P. Charpentier¹, L. Chassard¹, J. Chauveau², P. Checchia¹, G.A. Chelkov¹, L. Chevalier¹, P. Chilipnikov¹⁷, V. Chorowicz¹, R. Cirio³⁴, M.P. Clara¹, P. Collins¹, J.L. Conteras¹, R. Contrin¹, G. Cosme¹⁴, F. Couchot¹⁶, H.B. Crawley¹, D. Crosetti¹, G. Crosetti¹, M. Crozon¹, J. Cuevas Maestro¹, S. Czelarz¹, S. Dagoret¹⁶, E. Dahl-Jensen¹, B. Dalmane¹, M. Dam¹, G. Damgaard¹, G. Darbo¹, E. Daubie¹, P.D. Dauncey¹, M. Davenport¹, P. David¹, W. Da Silva¹, C. Deffout¹, D. Delkaris¹, S. Delorme¹, P. Delphere¹, N. Demaria¹, A. De Angelis¹, M. De Beer¹, H. De Boes¹, W. De Boer¹⁴, C. De Clercq¹, M.D.M. De Fe Laso¹, N. De Groot¹, C. De La Vaissiere¹, B. De Lotto¹⁰, A. De Min¹, H. Dijkstra¹, L. Di Ciazzo¹¹, F. Djama¹, J. Dolbeau¹, O. Doll¹, M. Donzelmann²⁷, K. Doroba¹⁴, M. Dracos¹, J. Drees¹, M. Dris¹, Y. Dufour¹, W. Dulinski¹, L.-O. Eek¹, P.-A. M. Eerola¹, T. Ekelof¹, G. Ekspong¹, A. Eliot Peisert¹, J.-P. Engel¹, D. Fassouliotis²³, M. Feindt¹, A. Fenyo²¹, M. Fernandez Alonso¹⁰, A. Ferrer¹, T.A. Filipopoulos¹, A. Firestone¹, H. Foeth¹, P. Fokitis¹, P. Folégati¹, F. Fontanelli¹, K.A.J. Forbes¹, B. Franck¹, P. Frenkiel¹, D.C. Fries¹, A.G. Frodesen¹, R. Fröhwhirt¹, F. Fulda-Quenzler¹, K. Furnival¹⁹, H. Furstenau¹, J. Fuster¹, G. Galeazzi¹, D. Gamba¹⁹, C. Garcia¹², J. Garcia¹², C. Gaspar¹, E. Gasparini¹, P. Gavillet¹, E.T. Gazis¹, J.-P. Gerber¹, P. Giacomelli¹, R. Gokeli¹, V.M. Golovatyuk¹⁷, J.J. Gomez Y Cadena¹, A. Goobar¹⁸, G. Gopal¹², M. Gorski¹⁴, V. Gracco¹⁰, A. Grant¹, F. Grard¹, E. Graziani¹⁶, G. Grossdier¹, E. Gross¹, P. Grossweissmann¹, B. Grossete¹, J. Guy¹², F. Hahn¹, M. Hahn¹⁴, S. Haider¹, Z. Hajduk¹³, A. Hakanson¹¹, A. Hallgren¹, J. Hamacher¹, G. Hamel De Monchenault¹, F.J. Harris¹⁰, B.W. Heck¹, T. Henkes¹, J.J. Hernandez², P. Herquet¹, H. Herr¹, I. Hietanen¹², C.O. Higgins¹⁸, E. Higon¹², H.J. Hilke¹², S.D. Hodson¹⁰, T. Hofmekler¹⁴, R. Holmes¹, S.O. Holmgren¹, D. Holtzhausen¹, P.F. Honore¹, M. Houlden¹⁹, J. Hubre¹, P. Hultqvist¹, D. Husson¹, P. Ioannou¹, D. Isenbourn¹, P.S. Iversen¹, J.N. Jackson¹, P. Jaloch¹³, G. Jarlskog¹, P. Jarry¹⁴, B. Jean-Marie¹⁶, E.K. Johansson¹, D. Johnson¹⁹, M. Jonker¹, L. Jonsson¹, P. Juillot¹⁴, G. Kalkanis¹, G. Kalmutz¹, F. Kapusta²⁰, M. Karlsson¹, S. Katsanevas¹², E.C. Katsoulis¹², R. Kenanen¹², J. Kesteman¹, B.A. Khomenko¹², N.N. Khovanski¹, B. King¹⁹, N.J. Kjaer¹, H. Klein¹, W. Klemp¹, A. Kloving¹, P. Kluit²⁷, A. Koch-Mehrin¹⁴, J.H. Koehne¹⁴, B. Koene³⁷, P. Kokkinias¹, M. Kopf¹, M. Koratinos¹, K. Korytov¹³, A.V. Korytov¹³, V. Kostikoglou¹⁷, C. Kourkoumelis¹, P.M. Kramer¹, T. Kreuzberger¹, J. Krolikowski¹⁴, J. Krstic¹⁷, U. Kriner-Marquis¹⁵, W. Krupinski¹², W. Kuczewicz¹², K. Kurvinen¹², C. Lacasta¹², C. Lambropoulos¹, J.W. Lambs¹, L. Lancer¹⁰, V. Lapin¹⁷, J.-J. Laufer¹, R. Isuahangka¹², G. Leder¹, F. Ledroit¹¹, R. Leitner¹, J. Lemoyne¹⁴, J. Lemonne¹, G. Lenzen¹⁵, V. Lepeitier¹⁴, A. Letessier-Selvon¹², E. Lieb¹⁴, D. Liko¹¹, E. Lillethun¹, J. Lindgren¹, R. Lindner¹, A. Lipniacka¹⁴, I. Lippi¹¹, R. Llosa²², B. Loerstad²¹, M. Lokajicek¹³, P. Lutz¹, L. Lyons¹⁰, A. Lopez-Fernandez¹⁹, M.A. Lopez Aguirre²⁴, M. Los²⁷, D. Loukas¹, A. Louis¹⁴, J.H. Lozano²⁴, P. Lutz¹, L. Lyons¹⁰, G. Machlum¹, N. Magnussen¹, J. Maillard¹, A. Maltezos¹, F. Mandri¹⁴, J. Marco¹⁸, M. Margoni¹¹, J.C. Marin¹, A. Markou¹, T. Maron⁴³, S. Marti¹², L. Mathis¹, F. Mattozzi¹, C. Matteuzzi²², G. Matthiae¹², M. Mazzucato³¹, M. McCubbin¹⁹, R. McKay¹, R. McNulty¹, G. Meola¹², C. Meroni¹, W.T. Meyer¹, M. Michelotti¹, W.A. Mitrofanoff¹⁹, R. Mueller¹³, W.J. Murray¹², B. Muryn¹, G. Myatt¹², F. Naragli³⁰, F.L. Navarria¹, P. Negri¹, P. Morettini¹⁰, H. Mueller¹, W.J. Murray¹², B. Muryn¹, G. Myatt¹², F. Naragli³⁰, F.L. Navarria¹, P. Negri¹, B.S. Nielsen²⁸, B. Nijjar¹⁹, V. Nikolicenko¹⁷, V. Obraztsov¹², K. Oesterberg¹², A.G. Olshevskii¹², R. Orava¹², A. Ostankov¹⁷, A. Ouraou¹, M. Paganini¹, R. Pain¹⁰, H. Park¹⁷, T. Papadopoulou¹, L. Pape¹, A. Passeri¹, M. Pegoraro¹¹, J. Penmann¹², V. Perezovichikov¹⁷, M. Perneka⁴³, A. Perrutta¹, F. Pierre¹, M. Pimenta¹⁸, O. Pingot¹, M.E. Polak¹⁵, G. Polok¹⁵, P. Poropat¹⁴, P. Privitera¹⁴, A. Pullia¹, D. Radovic¹, S. Ragazzi¹, P. Ratoff¹, A. Read¹, N.G. Redsell¹², M. Regler⁴¹, D. Reid¹⁹, P.B. Renton³⁰, L.K. Revanski¹, F. Richardson¹⁹, J. Ridky¹⁹, G. Rinatova¹⁷, J. Roditi¹, A. Romero¹⁹, J. Ronagliolo¹⁰, P. Ronchese¹¹, C. Ronquista¹², E.I. Rosenberg¹, U. Rossi¹, E. Rosso¹, P. Roudeau¹⁸, T. Rovelli¹, W. Ruckstuhl¹⁷, V. Ruhmann¹², A. Ruiz¹⁶, K. Rybicki¹, H. Saarikko¹², Y. Saquin¹⁴, G. Sajor¹¹, J. Salt¹², E. Sanchez⁴², I. Sanchez²², M. Sannino¹⁰, M. Schaefer¹, S. Schael¹, H. Schneider¹, M.A. Schyne¹, F. Seur⁴⁰, A.M. Segar¹⁰, R. Sekulin¹², M. Sesja⁴⁰, G. Sette¹⁰, R. Seuffer¹, R.C. Shellard¹, E. Siegrist¹⁴, S. Simonetti¹, F. Simonetto¹, A.N. Sissakian¹⁷, T.B. Skarl¹⁹, G. Skjelving²⁹, G. Smadja^{14,22}, G.R. Smith¹², R. Sosnowski¹⁴, T.S. Spasolt¹¹, E. Spiriti¹⁹, S. Squarcia¹⁰, H. Staeck⁴⁵, C. Stanescu¹³, G. Stavropoulos¹, F. Stichelbaut¹, A. Stoichi¹⁴, J. Strauss¹, R. Strub¹, M. Szczekowski¹⁴, M. Szpetczyk¹⁴, P. Szymanski¹⁴, T. Taburelli¹, S. Tavernier¹, O. Tchikle¹⁷, G. Theodosiou¹, A. Tilquin²⁴, J. Timmermans²⁷, V.G. Timofeyev¹², L.G. Tkatchev¹¹, T. Todoro¹³, D.Z. Toet²⁷, O. Toker¹, A. Tomaradze¹⁷, E. Torassa¹⁹, L. Tortora¹³, M.T. Trainor¹⁰, D. Treille¹, U. Trevisan¹⁶, W. Trischuk¹, G. Tristram¹, C. Troncon¹², A. Tsirou¹, E.N. Tsyganov¹², M. Turula¹³, R. Turchetta¹, M.-L. Turlier¹⁴, T. Tuuva¹², I.A. Tyupkin¹³, M. Tyndell¹², S. Tzamari¹⁷, Überschär¹, S. Überschär¹, O. Ullstrand¹, Y. Uvarov¹⁷, G. Valenti¹, E. Vallazza²⁹, J.A. Valls Ferrer¹, C. Vander Velde², G.W. Van Apeldoorn¹, P. Van Dam⁷, W.K. Van Dominek¹, J. Varela¹⁸, P. Vaz¹, G. Vegini¹³, L. Venturi¹¹, W. Venut¹², F. Verbeure¹, L.S. Vertogradov¹³, D. Vilanova¹⁴, N. Vishnevsky¹⁷, L. Vitale¹⁰, E. Vlachos¹³, S. Vlassopoulos¹, A.S. Vodopjanov¹³, M. Vollmer¹⁵, S. Volponi¹, G. Vulgaris¹, M. Voutilainen¹², V. Vrba¹⁵, H. Wahnen¹⁵, C. Walck¹⁴, F. Walden⁴⁰, M. Wayne¹, A. Wehr¹⁴, M. Weierstall⁴⁴, P. Weilhamer¹⁷, J. Werner⁴³, A.M. Wetherell¹, J.H. Wickens², J. Wikne¹⁷, G.R. Wilkinson¹, W.S.C. Williams¹⁰, M. Winter⁴, D. Wormell²⁹, G. Wormser¹⁶, K. Wochnigg¹², N. Yamagata²⁸, P. Yepes¹, A. Zaitsev¹, A. Zalewska¹, P. Zalewski¹⁶, D. Zavrtanik⁷, E. Zevgolatas¹, G. Zhang⁴⁵, N.I. Zimina¹³, M. Zito¹, R. Zitoun², R. Zukanovich Funchal¹, G. Zumerle¹¹, J. Zuning²
- ¹ Ames Laboratory and Department of Physics, Iowa State University, Ames IA 50011, USA
² Physics Department, UAntwerp Institute Antwerp, Universiteitsplein 1, B-2610 Wilrijk, Belgium; IHÉ, ULB-VUB, Pleinlaan 2, B-1000 Mons, Belgium
³ Physics Laboratory, University of Athens, Solonos Str. 104, GR-10680 Athens, Greece
⁴ Department of Physics, University of Bergen, Allegaten 55, N-5007 Bergen, Norway
⁵ Dipartimento di Fisica, Università di Bologna and INFN, Via Irnerio 46, I-4120 Bologna, Italy
⁶ Collège de France, Lab. de Physique Corpusculaire, 11 pl. Berthelot, F-75321 Paris Cedex 05, France
⁷ CERN, CH-1211 Geneva 23, Switzerland
⁸ Division of High Energy Physics, CERN, CH-1211 Geneva 23, Switzerland
⁹ Institute of Nuclear Physics, N.C.S.R. Demokritos, P.O. Box 60228, GR-15130 Athens, Greece
¹⁰ Dipartimento di Fisica, Università di Genova and INFN, Via Dodecaneso 33, I-16146 Genova, Italy
¹¹ Institut des Sciences Nucléaires, Université de Grenoble 1, F-38026 Grenoble, France
¹² Research Institute for High Energy Physics, University of Helsinki, Siltavuorenpuisto 20 C, SF-00170 Helsinki 17, Finland
¹³ Joint Institute for Nuclear Research, Dubna, Head Post Office, P.O. Box 79, 101 000 Moscow, Russia
¹⁴ Institut für Kernphysik, Universität Karlsruhe, 7277 Karlsruhe, Germany
¹⁵ High Energy Physics Laboratory, Institute of Nuclear Physics, ul. Kawalerska 26, PL-30055 Krakow, Poland
¹⁶ Université de Paris-Sud, Lab. de l'Accélérateur Linéaire, Bat. 200, F-91405 Orsay, France
¹⁷ School of Physics and Materials, University of Lancaster - Lancaster LA1 4YB, UK
¹⁸ LIP, Av. Elias Garcia 14 - 1e, P-1000 Lisbon Codex, Portugal
¹⁹ Department of Physics, University of Liverpool, P.O. Box 147, GB-Liverpool L69 3BX, UK
²⁰ LPNHE, Université Paris VI et VII, Tour 33 (Rdc), 4 place Jussieu, F-75230 Paris Cedex 05, France
²¹ Departamento de Física, Universidad de Salamanca, 37007 Salamanca, Spain
²² Institut für Kernphysik, Universität Regensburg, 93040 Regensburg, Germany
²³ Departamento de Física, Universidad de Valencia, E-46100 Valencia, Spain
²⁴ Universitat de València, Departament de Física, E-46100 Burjassot (Valencia), Spain
²⁵ Institut für Hochenergiephysik, Österreichische Akademie der Wissenschaften, Nikolsdorfergasse 18, A-1050 Vienna, Austria
²⁶ Inst. für Nuclear Studies and University of Warsaw, ul. Hoza 69, PL-00681 Warsaw, Poland
²⁷ Fachbereich Physik, Bergische Universität - Gesamthochschule Wuppertal, Postfach 100 127, D-5600 Wuppertal 1, Federal Republic of Germany

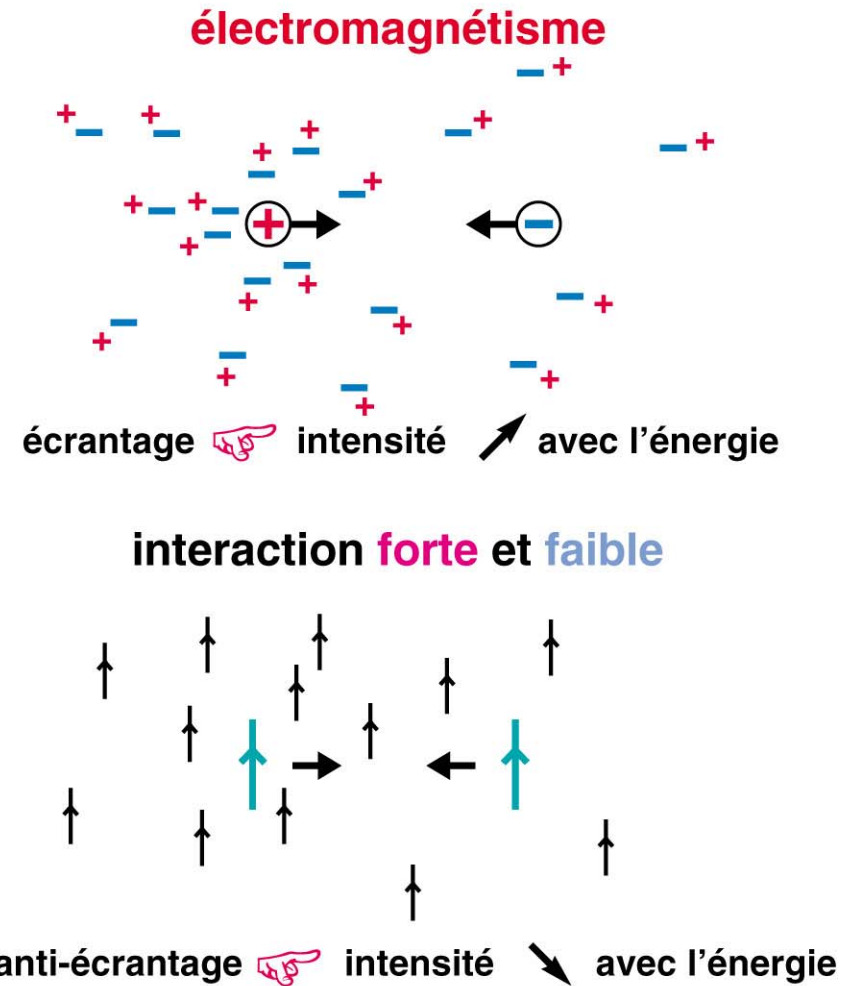
Abstract. Distributions of event shape variables obtained from 120600 hadronic Z decays measured with the DELPHI detector are compared to the predictions of QCD based event generators. Values of the strong coupling constant α_s are derived as a function of the renormalization scale from a quantitative analysis of eight hadronic distributions. The final result, $\alpha_s(M_Z) = 0.113 \pm 0.007$, is based on second order perturbation theory and uses two hadronization corrections, one computed with a parton shower model and the other with a QCD matrix element model.

RÉSULTAT DE MESURE :
as = 0,113 ± 0,007

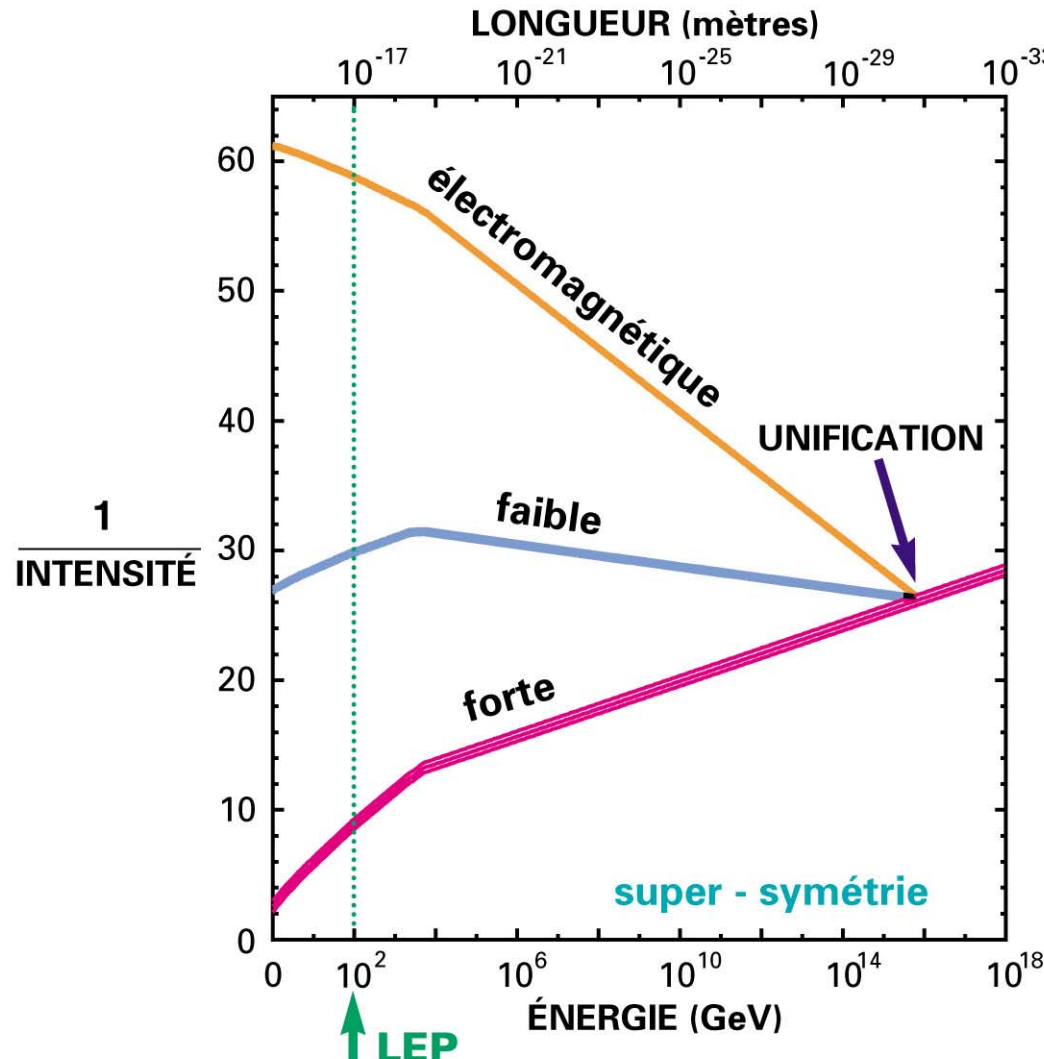
Vers l'unification des interactions fortes, faibles et électromagnétiques ?



T16



Une hypothèse : la super-symétrie



Conclusions

- Confirmation précise de la théorie électro-faible
 - Unification des interactions
 - 3 familles de neutrinos
 - Propriétés des quarks et leptons les plus lourds (t, charme, beauté)
- Physique lourde, ambitieuse, internationale,
buts fondamentaux, savoir-faire et retombées technologiques

Perspectives

- Origine et hiérarchie des masses ?
 - Assymétrie matière-antimatière ?
 - Unification des interactions ? Et la gravitation ?
- Projets futurs e+ e- : LEP-2 (200 GeV), NLC (500-1000 GeV)
pp, pp : Tevatron (1000 GeV), LHC (14000 GeV)
m+ m- : (500-4000 GeV)
Usines : Beauté, Charme